

# Celestial mechanics and polarization optics of the Kordylewski dust cloud in the Earth-Moon Lagrange point L5: Imaging polarimetric new evidence for the existence of Kordylewski dust cloud



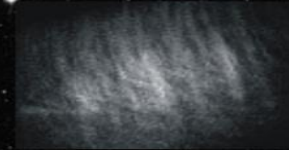
Sun

Gábor Horváth, Judit Slíz-Balogh, András Barta

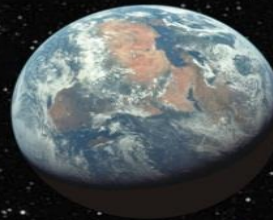
Environmental Optics Laboratory, Physical Institute, Eötvös University, Budapest



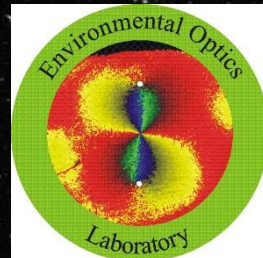
Moon



Kordylewski  
dust cloud



Earth



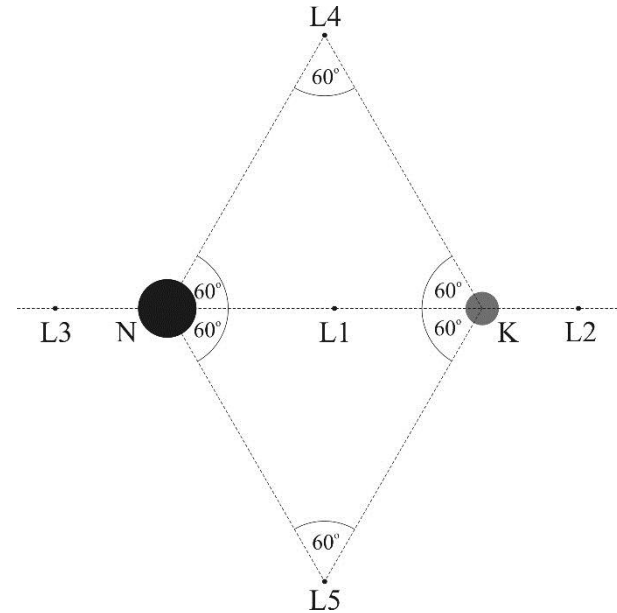
# Circular planar three-body problem: Lagrange points

Leonhard Euler (1767):

points L1, L2, L3 are **unstable**

Joseph-Louis Lagrange (1772):

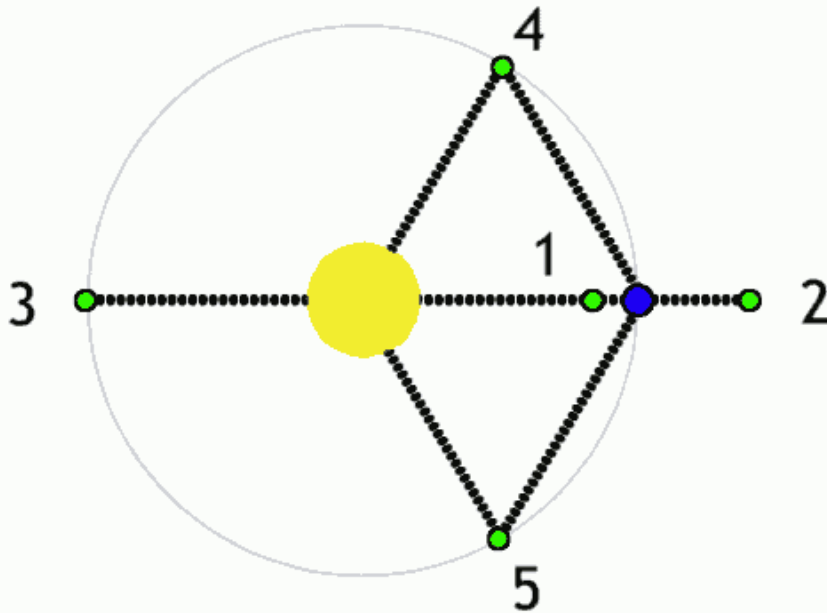
points L4, L5 are **(un)stable**

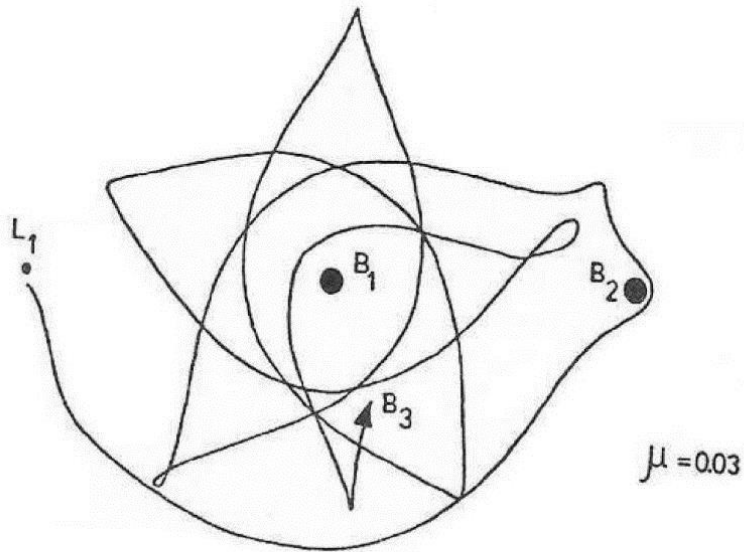


If  $Q = m_{\text{smaller}} / (m_{\text{smaller}} + m_{\text{larger}}) < Q^* = 0.03852$ ,  
then L4 and L5 are stable.

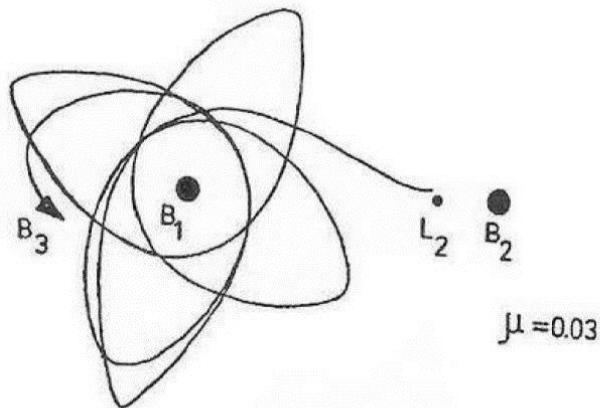
If  $Q \geq Q^*$ , then L4 and L5 are unstable.

$Q = m_{\text{Moon}} / (m_{\text{Moon}} + m_{\text{Earth}}) = 0.0123 < Q^* = 0.03852$ ,  
therefore L4 and L5 of the Earth and Moon are stable.

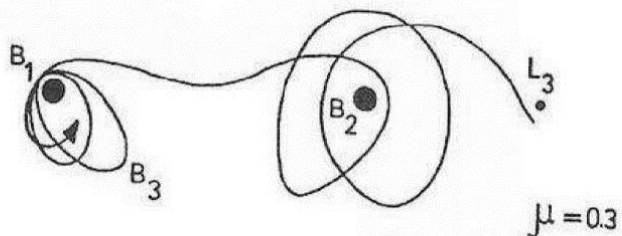




**Unstable  $L_1$  Lagrange point**



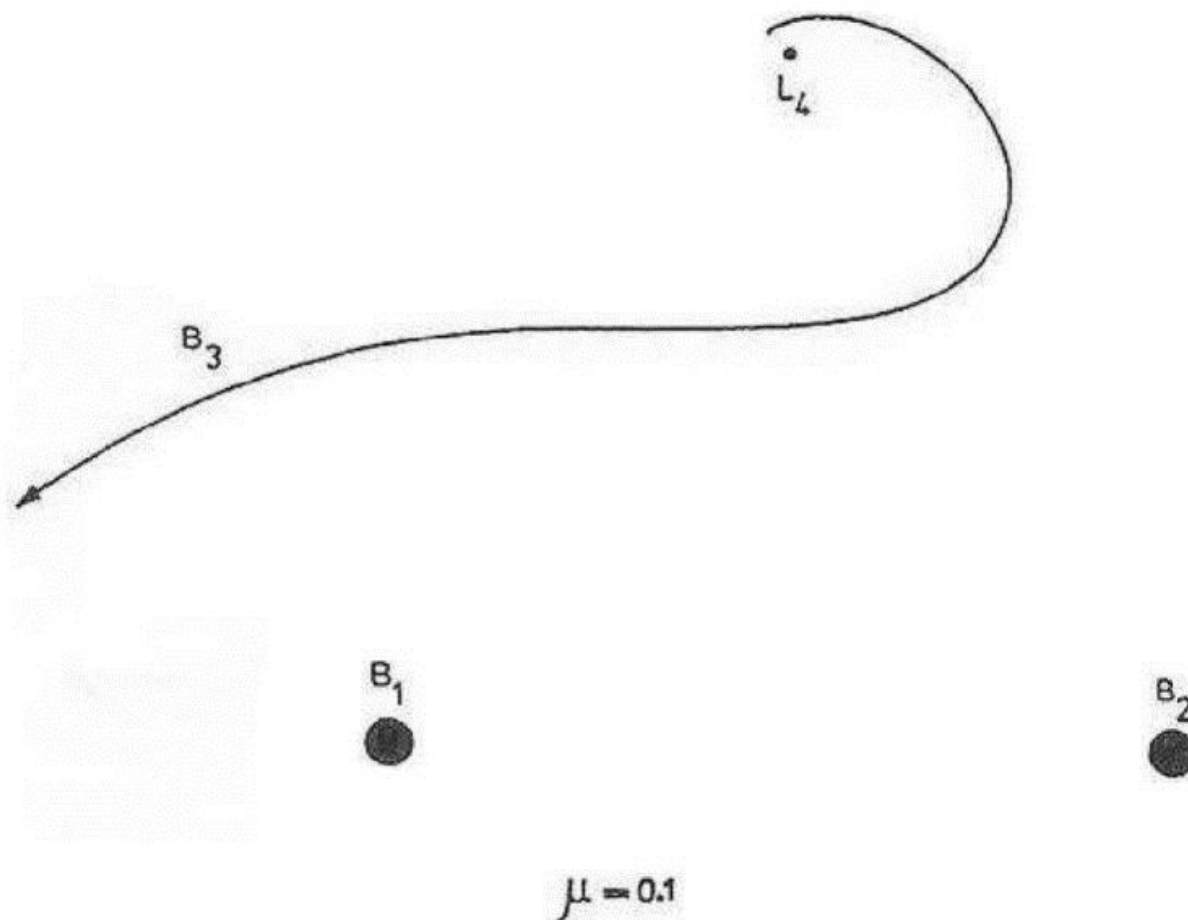
**Unstable  $L_2$  Lagrange point**



**Unstable  $L_3$  Lagrange point**

5. ábra Az instabil  $L_1$ ,  $L_2$  és  $L_3$  Lagrange-pontok közeléből zérus kezdősebességgel indított egy-egy porrészecske pályájának kezdeti szakaszai.

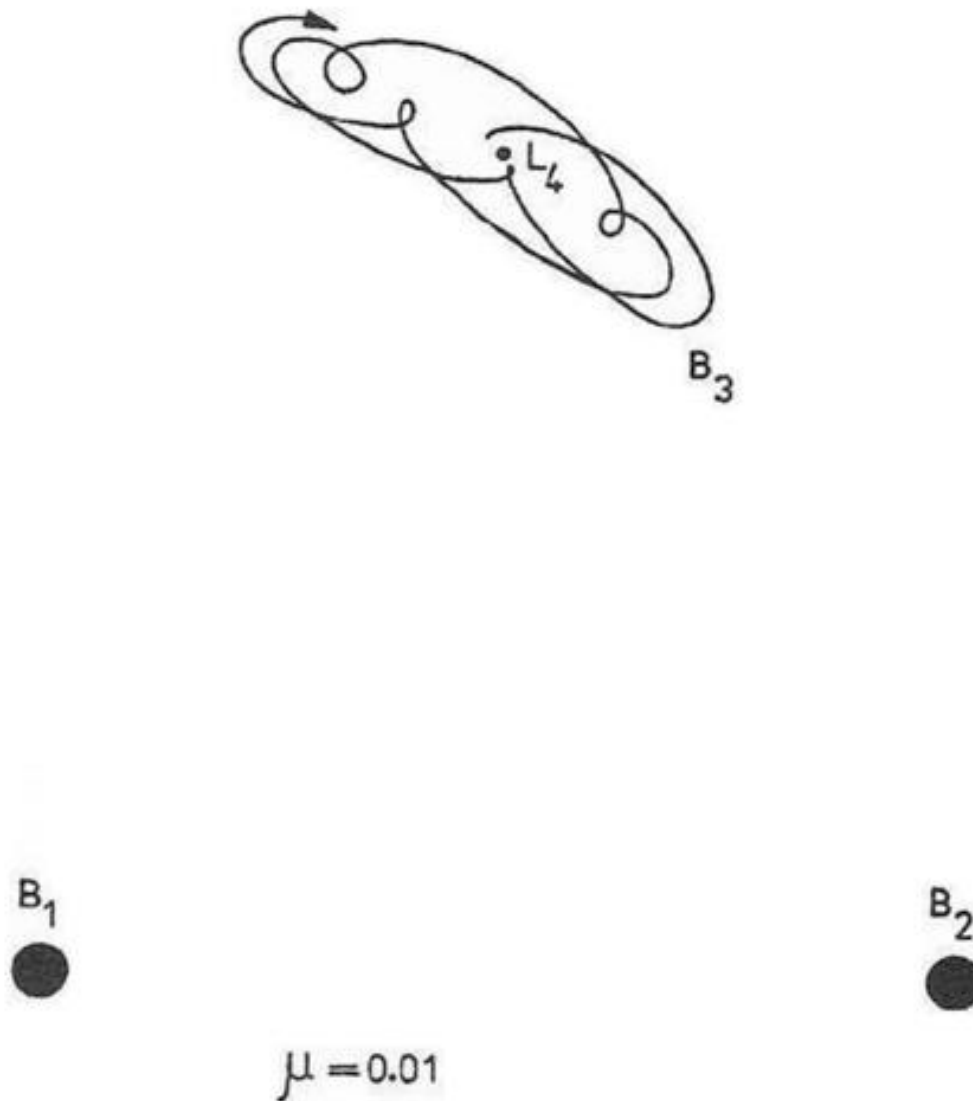
## Unstable $L_4$ Lagrange point



7. ábra A  $\mu > \mu_0$  választással instabillá tett  $L_4$  Lagrange-féle librációs pont közeléből, a 6. ábra kezdő- és peremfeltételeivel megegyezően induló porrészecske pályájának kezdeti szakasza.

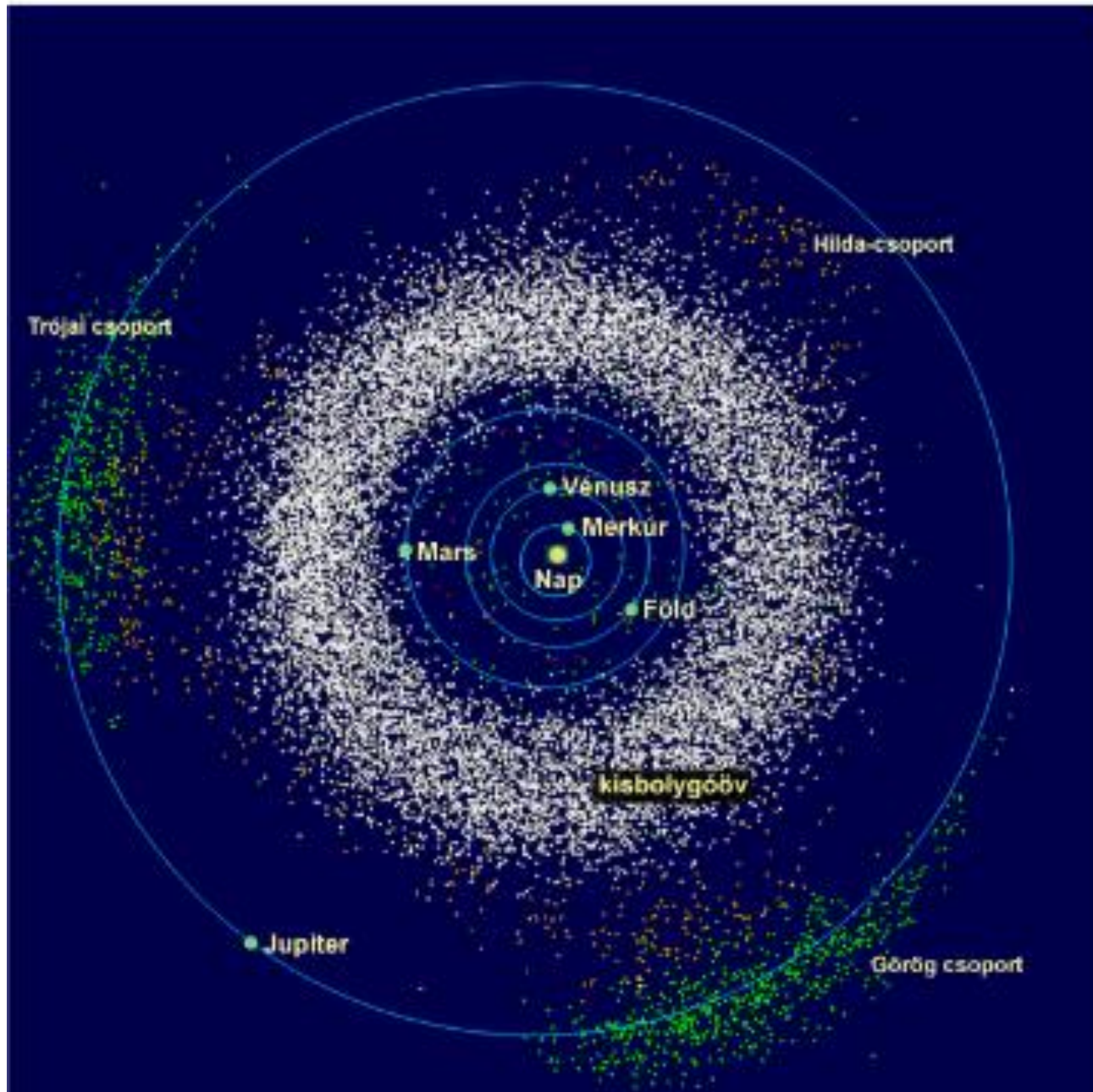


## Stable L4 Lagrange point



6. ábra A  $\mu < \mu_0$  választással stabillá tett  $L_4$  Lagrange-féle librációs pont közeléből nulla kezdősebességgel induló por-részecske hurkokból álló librációs pályájának kezdeti szakasza.

# Asteroids in the stable L4 and L5 points of the Solar system



Asteroids around the  
L4 and L5 points:

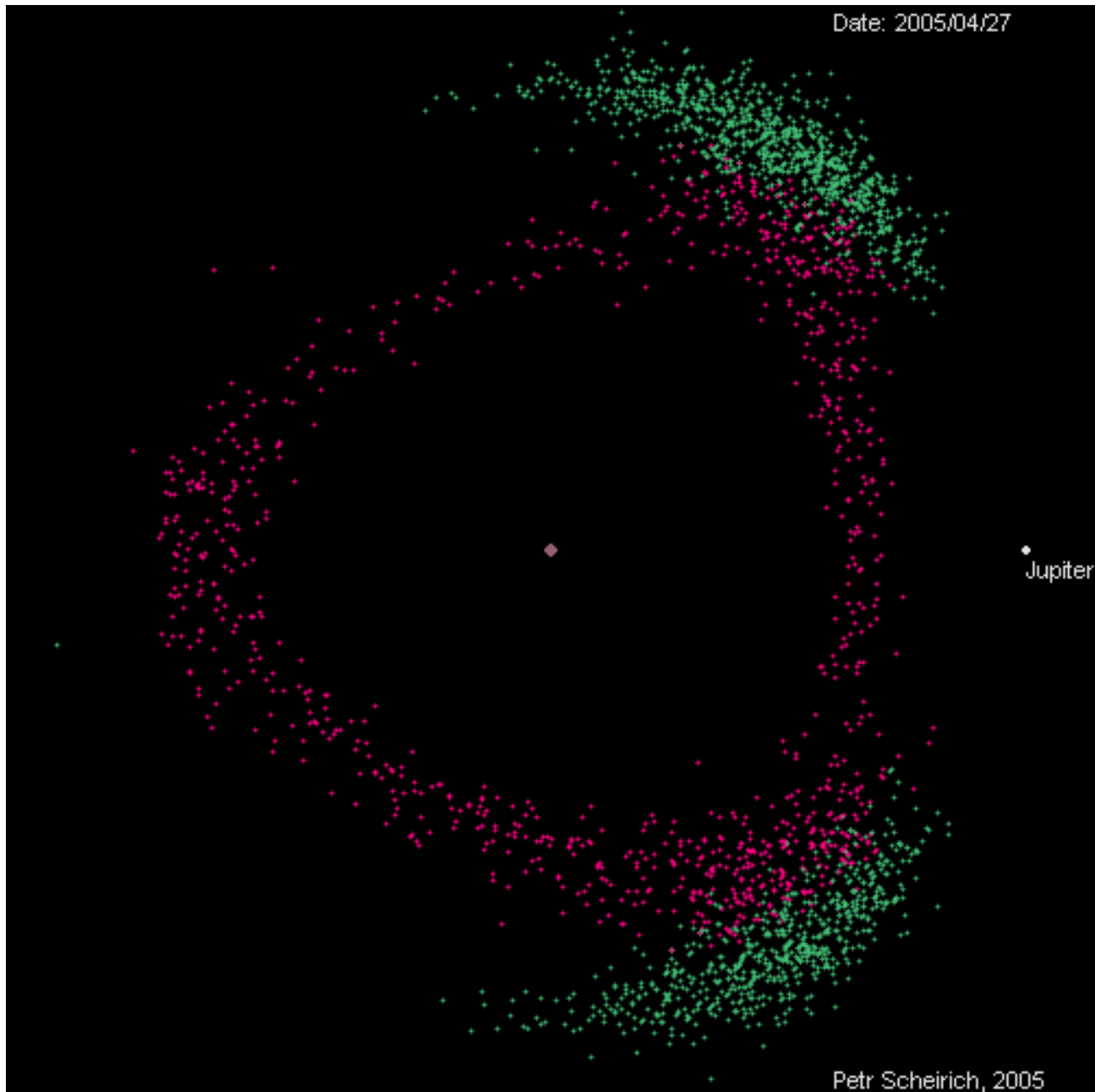
Jupiter - Sun  
(L4, L5 : **many  
thousands asteroids**)

Mars - Sun  
(L4: **1 asteroid**,  
L5: **3 asteroids**)

Neptune - Sun  
(L4: **6 asteroids**,  
L5: **1 asteroid**)

Earth - Moon  
(L5: **1 dust cloud ?**)

# Simulated particles of the Sun-Jupiter system in a co-rotating coordinate system

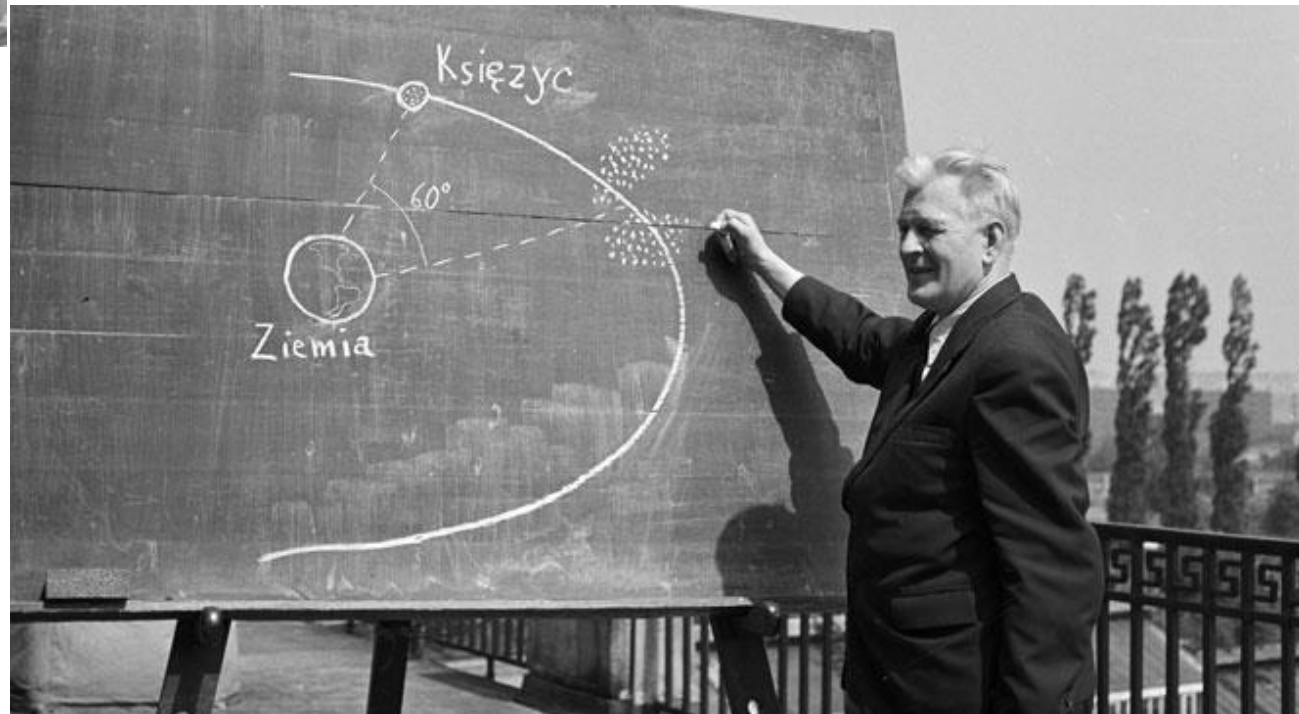


# Kazimierz Kordylewski (1903 - 1981)

L4 and L5 points of the Earth-Moon system are **stable** → **dust clouds** ?

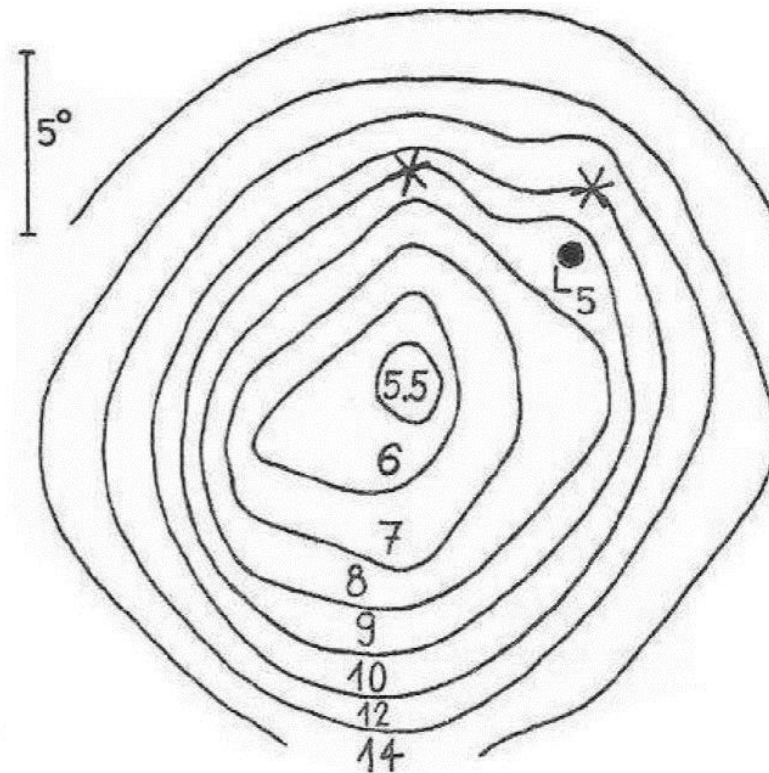


## Kazimierz Kordylewski in Krakow, 1961





# Photometric detection of the dust cloud by Kazimierz Kordylewski in 1961



\* PORHOLD

3. ábra Az állandó fényintenzitáshoz tartozó görbék serege ([8] alapján) a Föld-Hold rendszerben. Az egyes görbékhez tartozó számok a fényintenzitást mutatják magnitúdóban. Az  $L_5$  librációs pont az ún. ellenfény közelében van, s ez az ellenfény okozza a központi kifényesedést. Jól látható az  $L_5$  stabil librációs pont körüli két kidudorodás a görbeseregben, ami a környezetnél nagyobb fényintenzitás miatt a bolygóközi por helyi sűrűsödésére utal. Elsőnek Kordylewski azonosította ezt a két sűrűsödési gócot a Föld porholdjaiként.

## **Earlier attempts to detect the Kordylewski dust cloud (KDC) around the L5 point**

NASA (1966): found the KDC with naked-eye observations from an airplane

Roosen (1966, 1968): did not find the KDC by photography

Wolff (1967): did not find the KDC by photography from an airplane

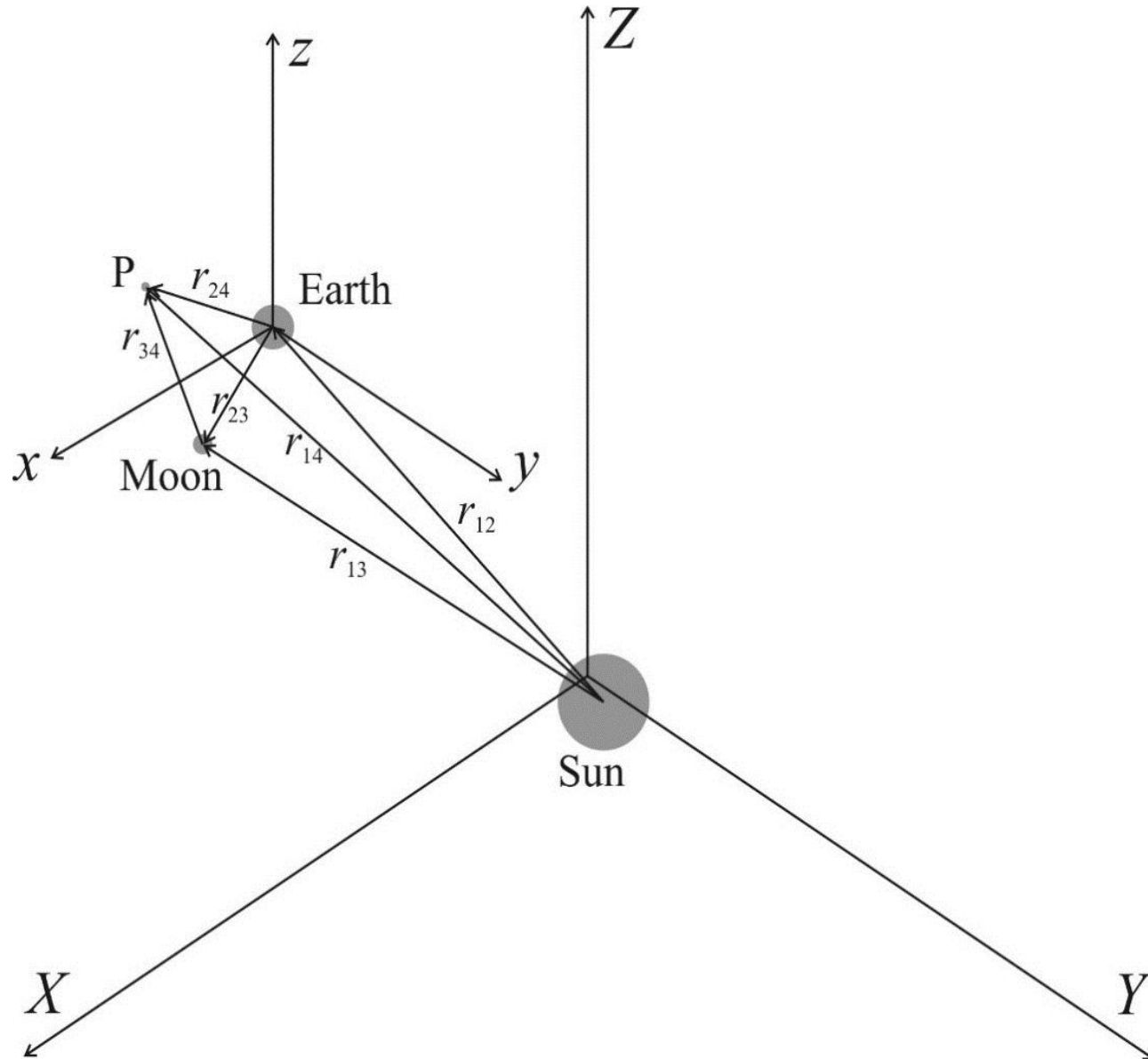
Roach (1975): found the KDC with an angular diameter of  $6^\circ$

Valdes & Freitas (1983): found nothing by photography

Winiarski (1989): observed the KDC by telescope

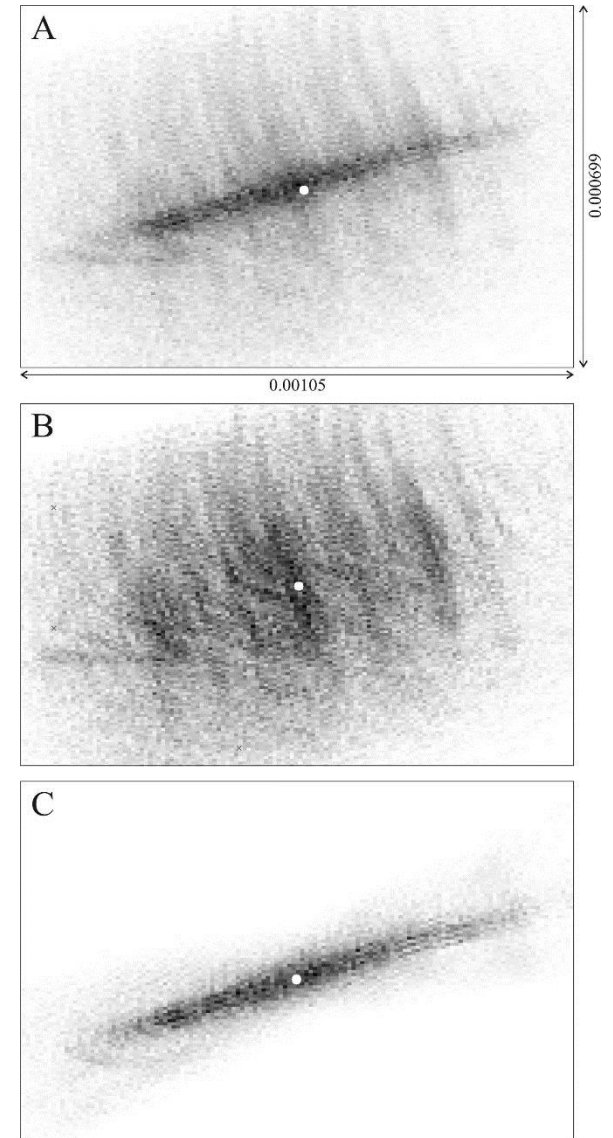
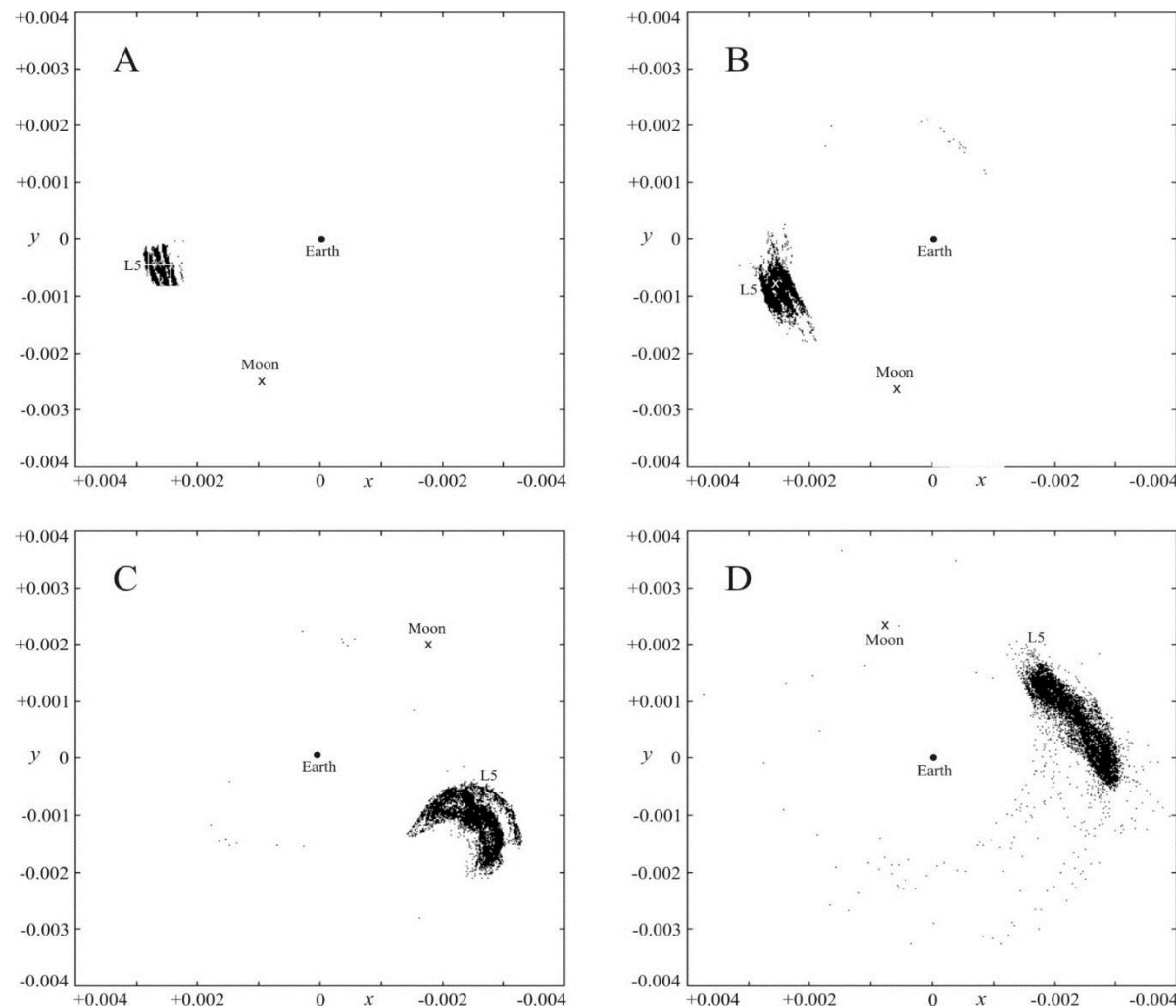
Japanese HITEN satellite (1992): did not find particle aggregation

# Computer modelling of dust cloud formation around the L4 and L5 points of the Earth-Moon system with 1 860 000 particles and the Sun in 3 dimensions



# Evolution of the computer-modelled Kordylewski dust cloud in 3 dimensions for 10 years

Density of the Kordylewski dust cloud simulated around the L5 point of the Earth-Moon system versus time for 1 860 000 particles





# **Evolution of simulated dust clouds around the L4 and L5 points of the Earth-Moon system**

**[Video clip](#)**

# Astronomical observatory of Judit Slíz-Balogh in Balatontördemic



FORNAX 100 mechanics

MEADE 16" f/10 ACF

GPU 132/1050

Tokina AF 300/2.8 teleobjective

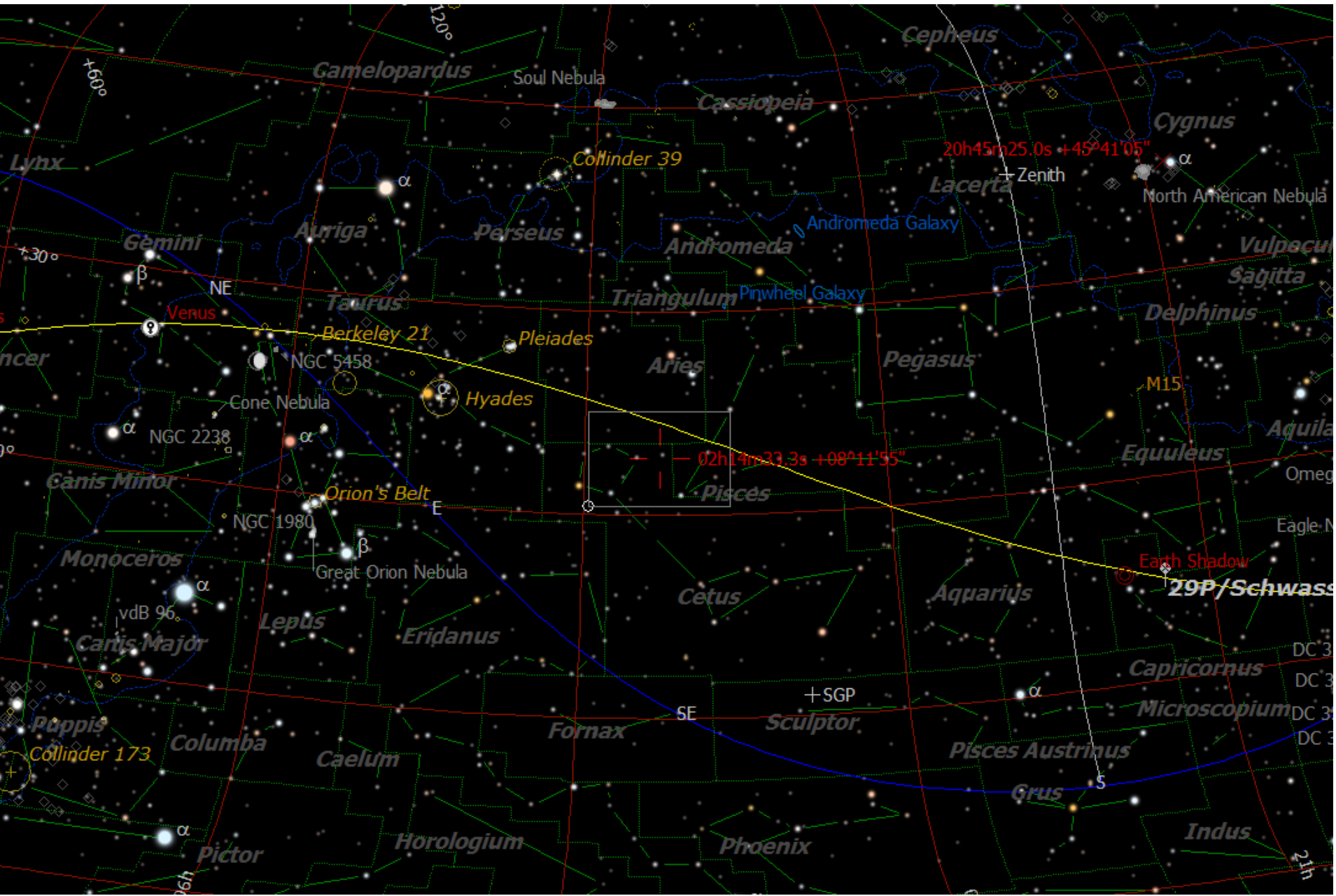
Samyang T3/100 teleobjective

Moravian G3-11000 ABG CCD

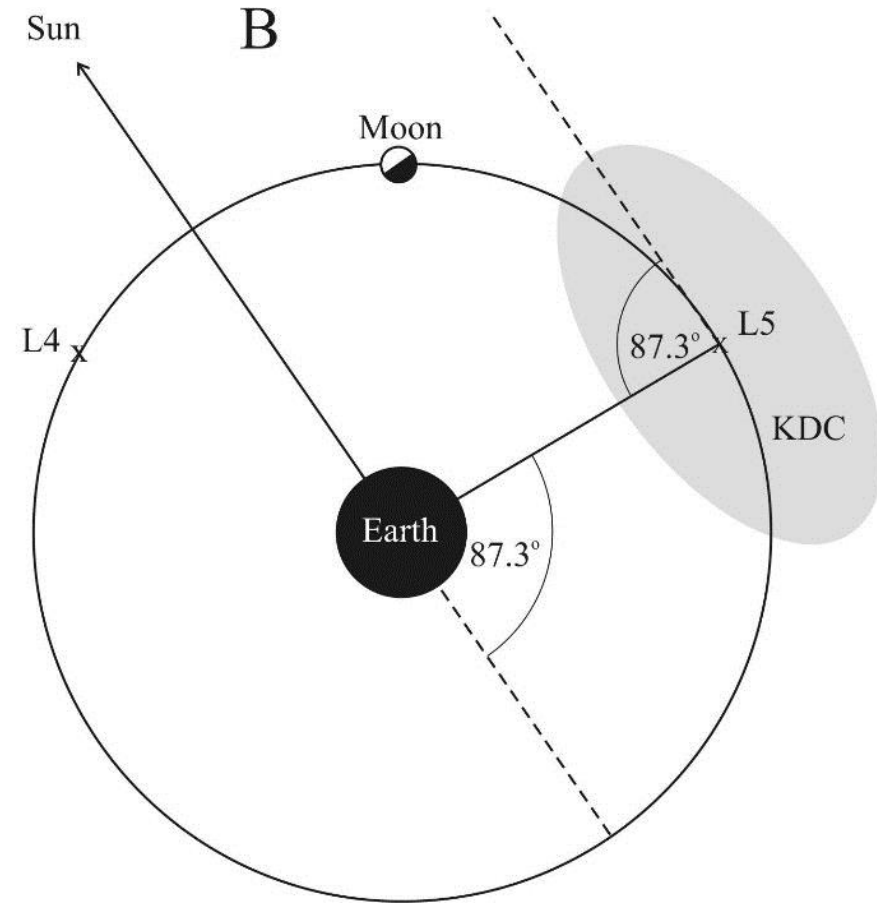
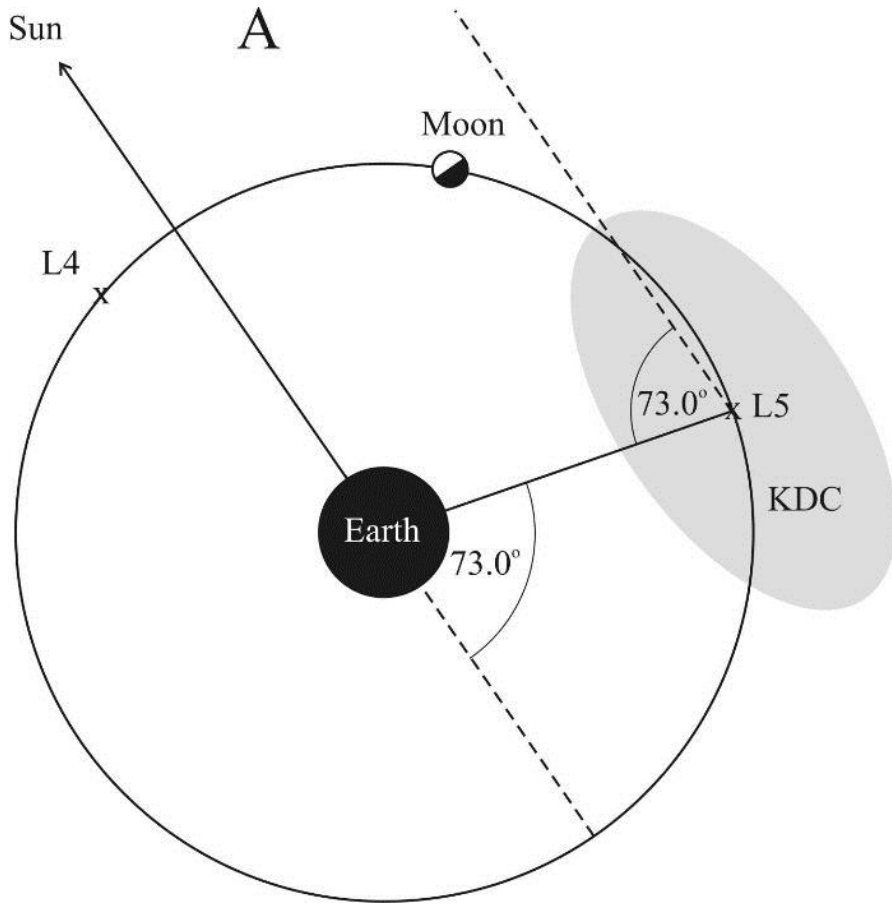


Judit Slíz-Balogh

# Position of the L5 point of the Earth-Moon system: 23:29:67 UT, 17 August 2017



**The Kordylewski dust cloud in the L5 Lagrange point of the Earth and Moon detected by imaging polarimetry (A) on 17 August (23:29:67 UT) and (B) on 19 August (01:14:15 UT) 2017**

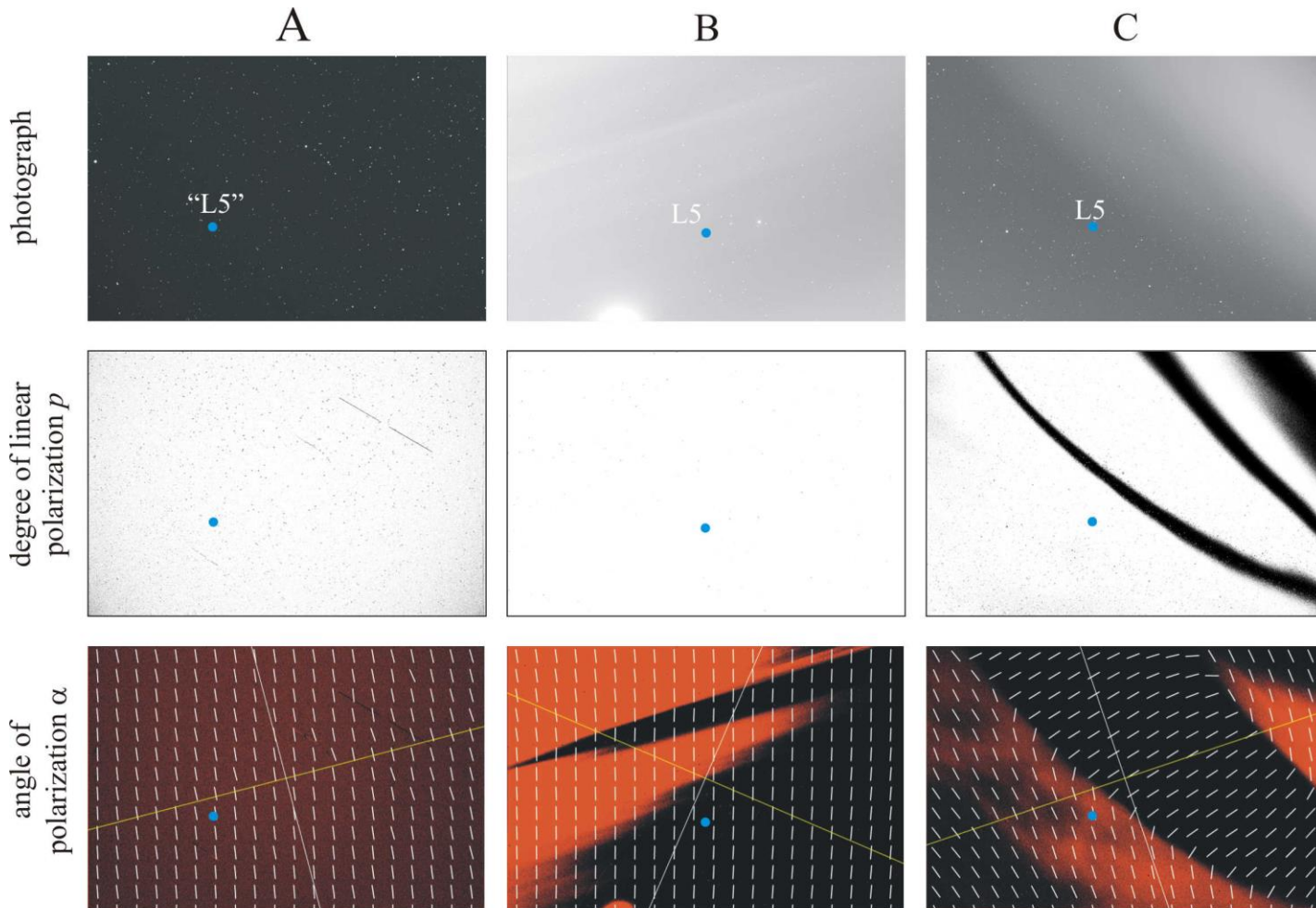




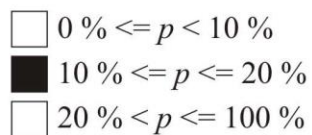


# Control measurements:

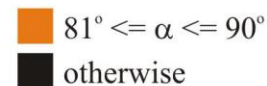
(A) without L5, but with **zodiacal light** (sunlight scattered by zodiacal dust in the Ecliptic),  
 (B) **cirrus cloud**, (C) **condensation trail** of an airplane



degree of linear polarization  $p$



angle of polarization  $\alpha$   
from the scattering plane

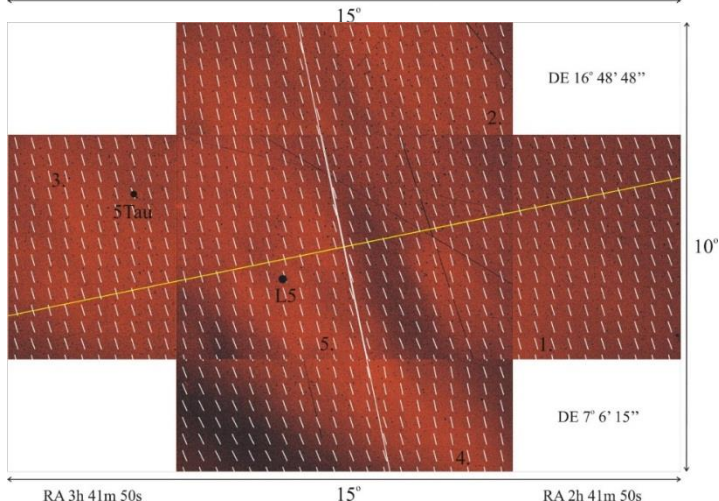
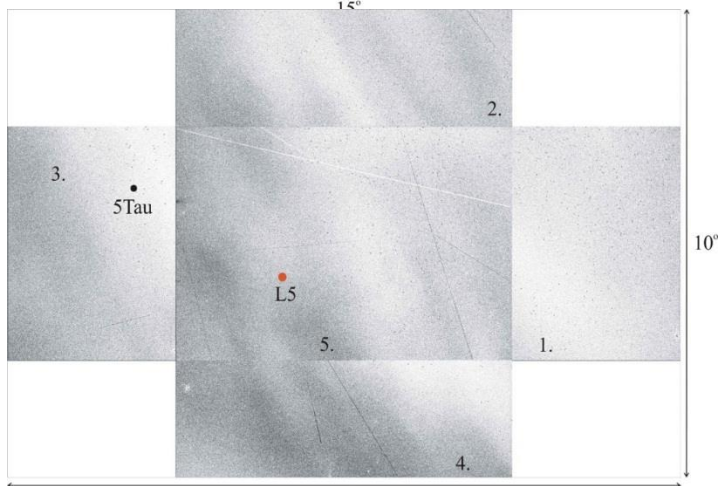
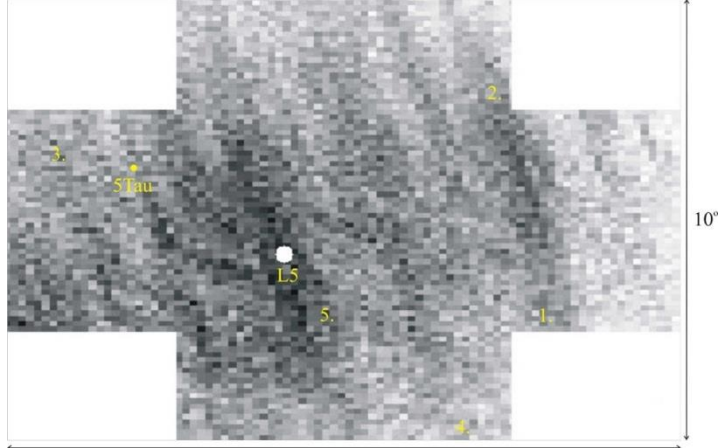


# Patterns of the Kordylewski dust cloud

Computer modelling

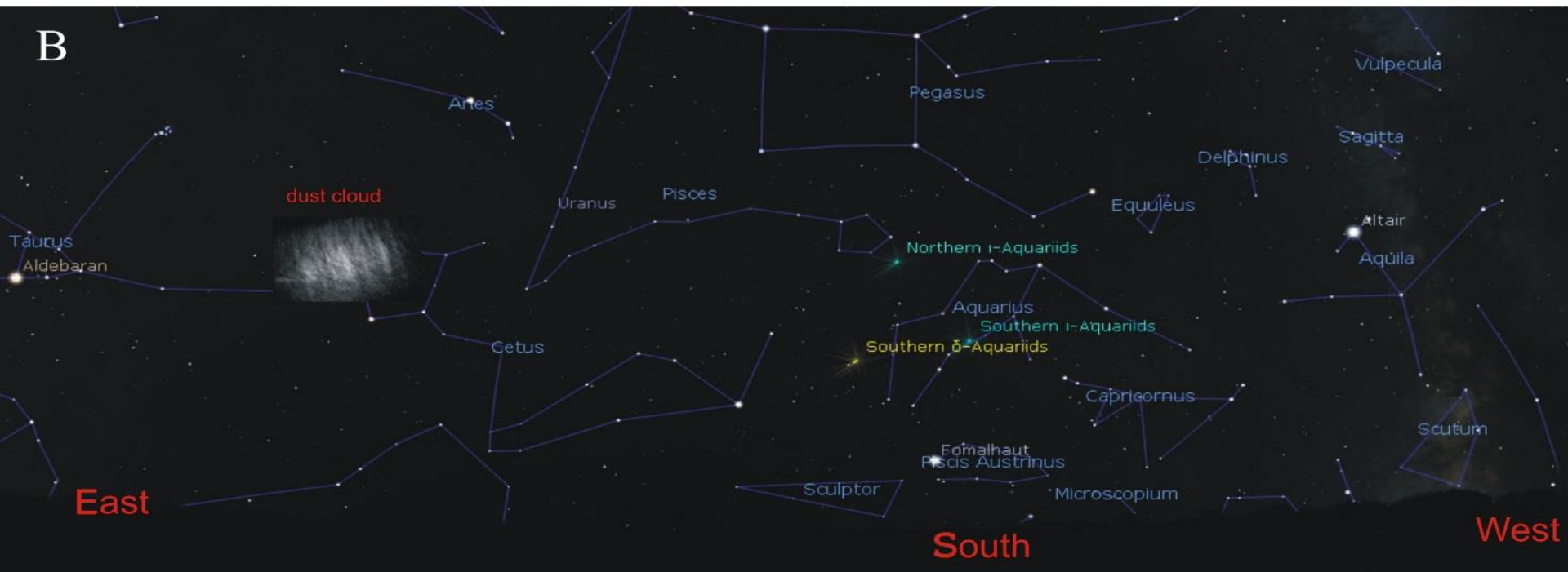
Degree of linear polarization

Angle of polarization





# Position of the simulated Kordylewski dust cloud at 01:14 UT on 19 August 2017





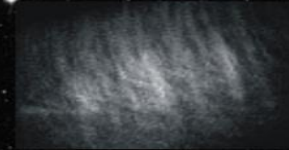


Sun

**Thank you for your attention!**



Moon



Kordylewski  
dust cloud



Earth